Е. Д. Головин, А. А. Шамына

(ГГУ имени Ф. Скорины, Гомель)

Науч. рук. В. Н. Капшай, канд. физ.-мат. наук, доцент

ГЕНЕРАЦИЯ ВТОРОЙ ГАРМОНИКИ В ПОВЕРХНОСТНОМ СЛОЕ СФЕРОИДАЛЬНОЙ ЧАСТИЦЫ. МОДЕЛЬ ВЕНТЦЕЛЯ-КРАМЕРСА-БРИЛЛЮЭНА

Введение. Нелинейные оптические явления активно изучаются и применяются в таких областях науки как медицина, биология, оптика. Одним из таких явлений является генерация второй гармоники (ГВГ) – явление, при котором, в ходе взаимодействия волны с нелинейным материалом, происходит генерация новой волны с удвоенной частотой. Для описания этого явления можно использовать модели Релея-Ганса-Дебая (РГД) и Вентцеля-Крамерса-Бриллюэна (ВКБ). В настоящей работе рассмотрим явление ГВГ в нелинейном поверхностном слое диэлектрической частицы сфероидальной формы, используя приближение ВКБ.

Постановка задачи и фазы падающей и генерируемой волн. Пусть сфероидальная диэлектрическая частица расположена так, что центр частицы совпадает с началом координат, а её ось симметрии направлена вдоль оси Oz. Длину полуоси эллипсоида вдоль оси его симметрии обозначим символом a_z , а длину полуоси, перпендикулярной оси симметрии – символом a_x . Для отношения указанных величин введём обозначение $\rho = a_7 / a_x$. Толщину нелинейного слоя, которым покрыта частица, обозначим символом d_0 $(d_0 << a_x, d_0 << a_z)$. Пусть на такую частицу под углом θ_{in} падает плоская электромагнитная волна с циклической частотой ω и волновым вектором $\mathbf{k}^{(\omega)}$. Модуль волнового вектора падающей волны обозначим символом k_{0} , отношение показателя преломления частицы к показателю преломления среды на частоте $\omega - \eta_{\omega}$. В поверхностном слое будет генерироваться новая волна с частотой 2ω и волновым вектором $\mathbf{k}^{(2\omega)}(\mathbf{x})$ зависящим от направления наблюдения. Далее для удобства будем обозначать этот вектор символом ${\bf k}^{(12)}$. Модуль волнового вектора генерируемой волны обозначим символом $k_{2\omega}$, отношение показателя преломления частицы к показателю преломления среды на частоте $2\omega - \eta_{2\omega}$. Получим теоретически формулу для вычисления напряжённости поля второй гармоники, генерируемого в нелинейном поверхностном слое частицы, используя приближение ВКБ.

Найдём выражение для вектора электрической напряжённости волны, падающей на поверхность частицы, с учётом сдвига фазы. Рассмотрим произвольный луч падающей электромагнитной волны с циклической частотой ω и волновым вектором $\mathbf{k}^{(\omega)}$, лежащий в плоскости, параллельной плоскости xOz, и проходящий через поверхность частицы в точках A и B (рисунок 1(a)). При рассмотрении траектории луча AB не будем учитывать преломление электромагнитных волн на границах раздела сред [1]. Тогда фазы в точках A и B соответственно равны $\phi_A^{(\omega)}(\mathbf{x}_A') = \mathbf{k}^{(\omega)}\mathbf{x}_A'$ и $\phi_B^{(\omega)}(\mathbf{x}_B') = \mathbf{k}^{(\omega)}\mathbf{x}_B' + \Delta\phi^{(\omega)}$, соответственно, где $\Delta\phi^{(\omega)}$ — сдвиг фазы, вызванный прохождением волны через среду с показателем преломления, отличным от показателя преломления окружающей среды. Выражения для сдвига фаз можно записать в виде:

$$\Delta \varphi^{(\omega)}(\mathbf{x}_B') = (\eta_{\omega} - 1)k_{\omega} L_{\omega}(\mathbf{x}_B'), \tag{1}$$

где $L_{\omega}(\mathbf{x}_B')$ — расстояние между точками A и B, которое падающая волна проходит внутри частицы. Определить это расстояние можно путём нахождения точек пересечения прямой и сфероида. Для этого необходимо решить систему уравнений, состоящих из канонического уравнения прямой с направляющим вектором $\mathbf{k}^{(\omega)}$ и канонического уравнения сфероида.

С учётом выражения (1) можно записать обобщающее выражение для фазы падающей волны:

$$\varphi^{(\omega)}(\mathbf{x}') = \mathbf{k}^{(\omega)}\mathbf{x}' + p_{\omega}(\eta_{\omega} - 1)k_{\omega}L_{\omega}(\mathbf{x}'), \tag{2}$$

где $p_{_{\odot}}$ — коэффициент, который принимает значение 0, если фаза определяется в точке A, и 1, если фаза определяется в точке B.

Определим фазу генерируемой волны. Пусть в поверхностном слое частицы генерируется волна, волновой вектор которой параллелен вектору \mathbf{e}_r . Единичный вектор \mathbf{e}_r является встречным к направлению наблюдения, производящемуся из дальней зоны (рисунок $1(\delta)$).

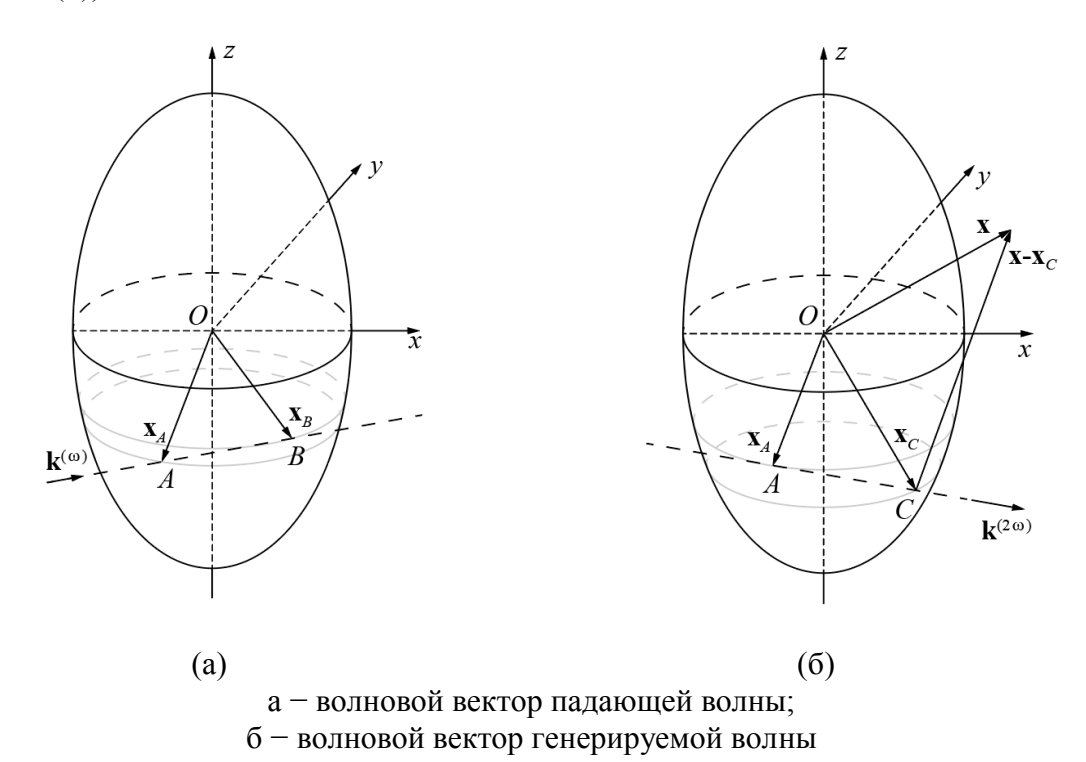


Рисунок 1 – Схемы распространения волн через поверхность сфероидальной частицы

Фаза волны, пришедшей из точки C к наблюдателю, находящемуся в дальней зоне, равна $\varphi_C^{(2\omega)}(\mathbf{x},\mathbf{x}_C')=k_{2\omega}|\mathbf{x}-\mathbf{x}_C'|$. Фаза генерируемой волны, пришедшей к наблюдателю из точки A, равна $\varphi_A^{(2\omega)}(\mathbf{x},\mathbf{x}_A')=k_{2\omega}|\mathbf{x}-\mathbf{x}_A'|+\Delta\varphi^{(2\omega)}$. Здесь \mathbf{x} — вектор, определяющий положение наблюдателя относительно начала координат, а векторами \mathbf{x}_C' и \mathbf{x}_A' определено положение элементов поверхности частицы (точек C и A соответственно) относительно начала координат. Аналогично предыдущим рассуждениям, запишем выражения для сдвига фазы в точке A для генерируемой волны:

$$\Delta \varphi^{(2\omega)}(\mathbf{x}_{A}') = (\eta_{2\omega} - 1) k_{2\omega} L_{2\omega}(\mathbf{x}_{A}'). \tag{3}$$

Аналогично предыдущим рассуждениям, объединим полученные выражение для фаз в точках C и A и воспользуемся приближением дальней зоны [2]:

$$\varphi^{(2\omega)}(\mathbf{x}, \mathbf{x}') = k_{2\omega} |\mathbf{x}| - \mathbf{k}^{(2\omega)} \mathbf{x}' + p_{2\omega} (\eta_{2\omega} - 1) k_{2\omega} L_{2\omega}(\mathbf{x}'), \tag{4}$$

где $p_{2\omega}$ — коэффициент, который принимает значение 0, если фаза определяется в точке C, и 1, если фаза определяется в точке A.

Выражения для вектора напряжённости электрического поля второй гармоники. Для определения напряжённости электрического поля генерируемой волны запишем выражения для напряжённостей падающей электромагнитных волн, с учётом ранее найденной фазы:

$$\mathbf{E}^{(\omega)}(\mathbf{x}') = \frac{2}{\eta_{\omega} + 1} \mathbf{e}^{(\omega)} E_{\omega} \exp\left(i\mathbf{k}^{(\omega)}\mathbf{x}' + ip_{\omega}(\eta_{\omega} - 1)k_{\omega}L_{\omega}(\mathbf{x}')\right). \tag{5}$$

Для удобства в (5) опущена временная часть.

Причиной генерации второй гармоники в дипольной модели является наличие нелинейной части поляризации [2]. Учитывая (4) и (5), запишем выражение для компонент вектора напряжённости электрического поля генерируемого излучения:

$$E_{i}^{(2\omega)}(\mathbf{x}) = \mu_{2\omega} \frac{(2\omega)^{2}}{c^{2}} \frac{\exp(ik_{2\omega}r)}{r} E_{\omega}^{2} d_{0}(\delta_{im} - e_{r,i}e_{r,m}) X_{mjk}^{(2\omega)} e_{j}^{(\omega)} e_{k}^{(\omega)}, \tag{6}$$

где $X_{iik}^{(2\omega)}$ – эффективная восприимчивость, которую можно определить по формуле

$$X_{ijk}^{(2\omega)} = \left(\frac{2}{\eta_{\omega} + 1}\right)^{2} \int_{S} \chi_{ijk}^{(2)} \exp[i\mathbf{q}\mathbf{x}' + ip_{2\omega}(\eta_{2\omega} - 1)k_{2\omega}L_{\omega}(\mathbf{x}')] \times \exp[2ip_{\omega}(\eta_{\omega} - 1)k_{\omega}L_{\omega}(\mathbf{x}')]dS_{\mathbf{x}'}.$$

$$(7)$$

Введём величину $s^{(2\omega)}(\theta, \varphi)$, пропорциональную вектору Умова-Пойтинга:

$$s^{(2\omega)}(\theta, \varphi) = |(1 - \mathbf{e}_r \otimes \mathbf{e}_r) \mathbf{f}^{(2\omega)}(\theta, \varphi)|^2, \tag{8}$$

$$f_i^{(2\omega)} = X_{ijk}^{(2\omega)} e_j^{(\omega)} e_k^{(\omega)}. \tag{9}$$

Графический анализ полученного решения. Для графического анализа построим трёхмерные диаграммы направленности мощности генерируемого излучения для моделей ВКБ (непрозрачный рисунок) и РГД (полупрозрачный рисунок). При построении использовались следующие параметры: $k_{\omega}a_{x}=0,1,~\rho=1,5,~\theta_{in}=\pi/2,~\chi_{1}^{(2)}\neq0,~\chi_{2,3,4}^{(2)}=0$. Диаграммы направленности представлены на рисунке 2.

Форма трёхмерной диаграммы направленности распределения мощности генерируемого излучения для модели ВКБ подобна форме диаграммы направленности, соответствующей модели РГД [3]. Отличия наблюдаются только в значении плотности мощности. Для модели ВКБ эта величина меньше, чем для модели РГД. Причиной различия полученных диаграмм является разница в показателях преломления среды и частицы.

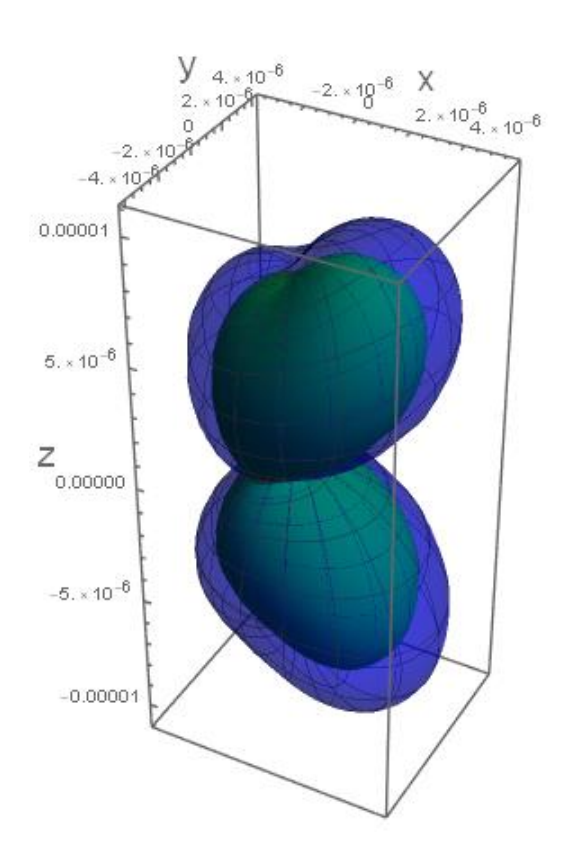


Рисунок 2 — Диаграммы направленности излучения второй гармоники, генерируемого в оптически нелинейном слое сфероидальной частицы, рассчитанные на основе моделей РГД и ВКБ

Заключение. В работе предложена модель генерации второй гармоники в поверхностном слое диэлектрической сфероидальной частицы с использованием модели ВКБ. Было проведено сравнение двух моделей: РГД и ВКБ. Результаты показали, что диаграммы направленности генерируемого излучения для обеих моделей имеют похожую форму, но отличаются величиной плотности мощности излучения. Полученные результаты соответствую аналогичным результатам, полученным для частиц сферической и цилиндрической форм. Следующим этапом исследования является изучение явление генерации суммарной частоты в поверхностном слое диэлектрических сфероидальной формы.

Литература

- 1. Size dependence of second-harmonic generation at the surface of microspheres / S. Viarbitskaya [et al.] // Physical Review A. -2010. Vol. 81, N_2 5. P. 053850.
- 2. Капшай, В. Н. Генерация второй гармоники в поверхностном слое диэлектрической сфероидальной частицы. І. Аналитическое решение / В. Н. Капшай, А. А. Шамына, А. И. Толкачёв // Оптика и спектроскопия. 2022. Т. 130, № 7. С. 1068–1081.
- 3. Шамына, А. А. Генерация второй гармоники в поверхностном слое диэлектрической сфероидальной частицы: П. Анализ решения / А. А. Шамына, В. Н. Капшай, А. И. Толкачёв // Оптика и спектроскопия. 2022. Т. 130, № 7. С. 1082–1097.